

свертке

$$\Psi_{01} \Psi_{02} \Psi_{03}^+ \Psi_{04}^+$$

и выражаются суммой вида

$$\frac{1}{V^2} \sum_{\mathbf{p}_1 \mathbf{p}_2} \langle \hat{a}_{\mathbf{p}_1} \hat{a}_{\mathbf{p}_1}^+ \rangle \langle \hat{a}_{\mathbf{p}_2} \hat{a}_{\mathbf{p}_2}^+ \rangle \exp(\dots).$$

В пределе  $V \rightarrow \infty$  суммирование по  $\mathbf{p}_1$  и  $\mathbf{p}_2$  заменяются интегрированием по  $V^2 d^3 p_1 d^3 p_2 / (2\pi)^6$ , объем  $V$  сокращается и это выражение остается конечным. В сумме (13,15) отличны от нуля также и члены с  $\mathbf{p}_1 = \mathbf{p}_2 = \mathbf{p}_3 = \mathbf{p}_4$ ; эти члены образуют сумму вида

$$\frac{1}{V^2} \sum_{\mathbf{p}} \langle \hat{a}_{\mathbf{p}} \hat{a}_{\mathbf{p}} \hat{a}_{\mathbf{p}}^+ \hat{a}_{\mathbf{p}}^+ \rangle \exp(\dots);$$

но после перехода в ней к интегрированию один множитель  $1/V$  остается, и в пределе  $V \rightarrow \infty$  выражение обращается в нуль.

Ясно, что этот результат имеет общий характер: в пределе  $V \rightarrow \infty$  в среднем значении от произведения  $\Psi$ -операторов не обращаются в нуль лишь результаты попарных сверток.

Отметим, что в изложенном доказательстве по существу не использовалось, что усреднение производится именно по основному состоянию, и поэтому оно остается справедливым и при усреднении по любому квантовому состоянию системы<sup>1)</sup>.

## § 14. Собственно-энергетическая функция

Сформулированные в предыдущем параграфе правила диаграммной техники обладают важным свойством: общий коэффициент в диаграмме не зависит от ее порядка. В силу этого свойства каждая «фигура» на диаграмме имеет определенный аналитический смысл независимо от того, в какую диаграмму она входит, так что ее можно вычислять независимо, заранее.

<sup>1)</sup> Но если усреднение производится по основному состоянию, то теорема Вика справедлива не только в макроскопическом пределе. Соответствующее доказательство теоремы в статистике совпадает с ее доказательством в квантовой электродинамике (IV § 78). Единственное отличие между этими случаями — разные основные состояния: в вакууме частицы отсутствуют, а в идеальном газе заполняют ферми-сферу с радиусом  $r_F$ . Для операторов  $\hat{a}_{\mathbf{p}}^+$ ,  $\hat{a}_{\mathbf{p}}$  рождения и уничтожения частиц с  $p > r_F$  это отличие вообще несущественно и доказательство переносится буквально. Для операторов же с  $p < r_F$  надо предварительно переобозначить  $\hat{a}_{\mathbf{p}}^+ = \hat{b}_{\mathbf{p}}$ ,  $\hat{a}_{\mathbf{p}} = \hat{b}_{\mathbf{p}}^+$ , т. е. перейти от частиц к дыркам, которые в основном состоянии внутри ферми-сферы отсутствуют.

Мало того, можно заранее вычислить сумму некоторых фигур, имеющих определенное число концов, и затем вставить этот «блок» в более сложные диаграммы. Это—одно из важнейших преимуществ диаграммой техники.

Одним из таких «блоков», имеющих также и существенное самостоятельное значение, является так называемая *собственно-энергетическая функция*<sup>1)</sup>. Чтобы прийти к этому понятию, рассмотрим все диаграммы для функции Грина, которые нельзя разделить на две части, соединенные лишь одной сплошной линией. К таковым относятся, например, обе диаграммы первого порядка теории возмущений (13,13) и диаграммы (13,14а—е) второго порядка. Все эти диаграммы построены однотипно: по одному множителю  $iG_{\alpha\beta}^{(0)}$  по концам и некоторая внутренняя часть (функция от  $P$ ), которую и называют собственно-энергетической функцией. Сумму всех возможных таких частей называют точной или полной собственно-энергетической функцией или *массовым оператором*; обозначим ее через  $-i\Sigma_{\alpha\beta}(P)$ .

Все диаграммы собственно-энергетического типа дают в гриновскую функцию вклад, равный

$$iG_{\alpha\beta}^{(0)}(P) [-i\Sigma_{\beta\gamma}(P)] iG_{\gamma\delta}^{(0)}(P) = iG^{(0)}(P) \Sigma(P) G^{(0)}(P) \delta_{\alpha\delta}, \quad (14,1)$$

где помимо  $G_{\alpha\beta}^{(0)} = G^{(0)} \delta_{\alpha\beta}$  написано также и

$$\dot{\Sigma}_{\alpha\beta}(P) = \delta_{\alpha\beta} \Sigma(P). \quad (14,2)$$

Полная же функция Грина (изображаемая графически жирной сплошной линией) дается суммой бесконечного ряда

$$\overleftarrow{\text{---}} = \overleftarrow{\text{---}} + \overleftarrow{\text{---}} \circ \overleftarrow{\text{---}} + \overleftarrow{\text{---}} \circ \overleftarrow{\text{---}} \circ \overleftarrow{\text{---}} + \dots, \quad (14,3)$$

где кружки изображают точные собственно-энергетические функции ( $-i\Sigma_{\alpha\beta}$ ). Каждый член этого ряда (начиная с третьего) представляет собой совокупность диаграмм, которые могут быть рассечены на две, три и т. д. части, соединенные между собой одной сплошной линией.

Если от всех членов ряда (14,3), начиная со второго, «отсечь» один кружок с присоединенной к нему справа линией, то оставшийся ряд будет снова совпадать с полным рядом. Это значит, что

$$\overleftarrow{\text{---}} = \overleftarrow{\text{---}} + \overleftarrow{\text{---}} \circ \overleftarrow{\text{---}} \quad (14,4)$$

<sup>1)</sup> Ср. аналогичное определение в квантовой электродинамике, где такая функция называлась компактной собственно-энергетической (IV §§ 100, 102).

В аналитическом виде это равенство записывается как

$$G = G^{(0)} + G \Sigma G^{(0)} \quad (14,5)$$

или, разделив на  $G^{(0)}G$ :

$$\frac{1}{G(P)} = \frac{1}{G^{(0)}(P)} - \Sigma(P). \quad (14,6)$$

Отметим, что знак мнимой части  $\Sigma$  совпадает со знаком  $\text{Im } G$  и, согласно (8,14),

$$\text{sign Im } \Sigma(\omega, p) = -\text{sign } \omega. \quad (14,7)$$

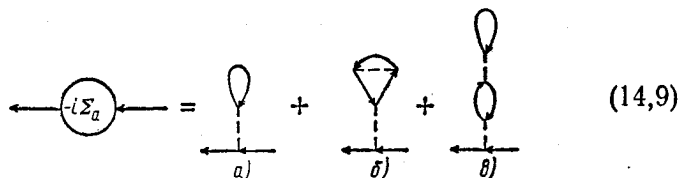
Это следует из (14,6) с учетом того, что знак  $\text{Im } G^{-1}$  противоположен знаку  $\text{Im } G$ , а согласно (9,7),  $\text{Im } G^{(0)-1} = 0$ .

Таким образом, вычисление  $G$  сводится к вычислению  $\Sigma$ , требующему рассмотрения меньшего числа диаграмм. Это число еще более уменьшается в связи с тем, что часть оставшихся диаграмм сразу суммируется к очень простому выражению.

Именно выделим из всей совокупности диаграмм, определяющих  $\Sigma$  (при парном взаимодействии между частицами), те, которые представляют собой различные «отростки», присоединенные к концевым линиям одним пунктиром: их сумму обозначим через  $\Sigma_a$ . Все такие диаграммы содержатся в одной скелетной диаграмме вида<sup>1)</sup>

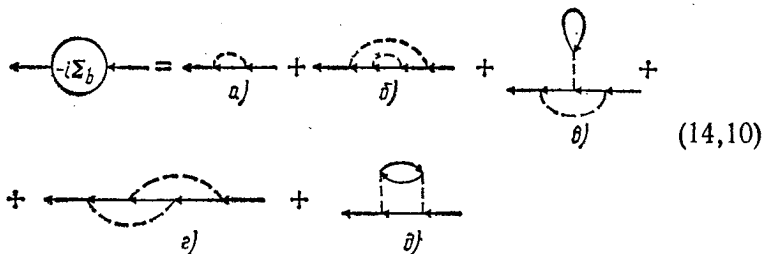


Остальную же часть  $\Sigma$  обозначим  $\Sigma_b$ . Так, среди диаграмм первого и второго порядков к первой категории относятся следующие:



<sup>1)</sup> Как и в квантовой теории поля, скелетными называют диаграммы, составленные из жирных линий и блоков; каждая такая диаграмма эквивалентна определенной совокупности бесконечного числа обычных диаграмм различных порядков.

а ко второй:



Жирной петле на диаграмме (14,8) отвечает точная плотность системы  $n(\mu)$  (подобно тому, как тонкой петле на диаграмме (13,13а) отвечает плотность идеального газа  $n^{(0)}(\mu)$ ). Поэтому из определения (14,8) следует, что

$$-i\Sigma_a = -in(\mu)U(0). \quad (14,11)$$

Таким образом,

$$\Sigma = n(\mu)U(0) + \Sigma_b, \quad (14,12)$$

так что особого вычисления требуют лишь диаграммы, входящие в  $\Sigma_b$ .

Закон дисперсии квазичастиц определяется уравнением (8,16). Выразив в нем  $G$  через  $\Sigma$ , согласно (14,6), и взяв  $G^{(0)}$  из (9,7), получим это уравнение в виде

$$\frac{1}{G^{(0)}(\epsilon - \mu, p)} = \epsilon(p) - \frac{p^2}{2m} = \Sigma(\epsilon - \mu, p). \quad (14,13)$$

На границе ферми-сферы при  $p = p_F$  энергия квазичастицы совпадает с  $\mu$ . Отсюда видно, что

$$\mu - \Sigma(0, p_F) = \frac{p_F^2}{2m}. \quad (14,14)$$

В результате уравнение закона дисперсии принимает (при значениях  $p$  вблизи  $p_F$ ) вид

$$\epsilon(p) - \mu = \frac{p_F}{m}(p - p_F) + \Sigma(\epsilon - \mu, p_F) - \Sigma(0, p_F). \quad (14,15)$$

Подчеркнем, что  $p_F$  здесь — точное значение граничного импульса для системы взаимодействующих частиц. Оно связано соотношением  $p_F^2/3\pi^2 = n$  с точной плотностью  $n(\mu)$ , а не с приближенной  $n^{(0)}$ , как в (13,5).